



ENVIRONMENTAL SCIENCE

ISSN 0250-3301 CODEN HCKHDV **HUANJING KEXUE**

- 主办 中国科学院生态环境研究中心
- ■出版科学出版社



2019

Vol.40 No.5 第40卷 第5期

ENVIRONMENTAL SCIENCE

第40卷 第5期 2019年5月15日

Ħ 次

```
日次

2016 年 10 ~ 11 月期间北京市大气颗粒物污染特征与传输规律 张晗宇、程水潭、姚森、王晓琦、张俊峰(1999) 餐饮排放有机颗粒物的质量浓度、化学组成及排放因子特征 王红丽,景盛朝,乔利平(2010) 泰山顶(1 534 PM) 数9 冬季 PM。中元素浓度特征及其源分析 沈利娟、王红磊、银燕、陈髮、陈景华、施双双(2019) 郑州新乡冬季 PM。中元素浓度特征及其源分析 "月下,张朴真、黄海毒、高雅、张靖雯、宋鑫、张佳羽、李怀刚,曹治国、姜维韶、樊静、王跃思、金彩霞(2027) 我国 PM。浓度分阶段改善目标情景分析 贺晋瑜、燕丽、王彦超、雷宇、汪他颖(2036) 安阳市典型工业源 PM。排放特征及减排潜力估算 杜小申,燕丽、贺晋瑜、无地颖、王克、张瑞芹(2043) 郑州市典型工业炉窑细颗粒物排放特征及清单 起庆炎、韩土杰、张轶舜、杨留明、张瑞芹、燕启社(2052) 2015 年南京市城区挥发性有机物组成特征及大气反应活性 点天见、郭文讷、刘晓、陈凤、赵秋月,刘倩(2062) 兰州市化石燃料燃烧源排放 VOCs 的臭氧及二次有机气溶胶生成潜势 刘镇、朱玉凡、郭文讷、刘晓、陈瑗(2069) 12 种常见落叶果树 BVOCs 排放清单和排放特征 李双江、袁相洋、李琦、冯兆忠(2078) 我国典型陆地生态系统水位学离子特征及空间分布、黄丽、张心星、袁国富、朱治林、唐新斋、孙晓敏(2086) 我国典型区域地表水环境中抗生素污染现状及其生态风险评价 刘普、王曾、王字雷、李珍、杨超、厉思华、刘龙海(2016) 大连海域人海污染源中 PFASs 的赋存、输入通量和季节特征 陈虹、韩建波、张灿、程嘉增(2115) 干旱内陆河流域降水稳定同位素的时空特征及环境意义 袁瑞丰、李宗省、蔡玉琴、郑涛明(2122) 柳林泉域谷溶地像下水土至原面子特征及好境意义 袁瑞丰、李宗省、蔡玉琴、郑涛明(2122) 柳林泉域谷游地降水稳定同位素的时空特征及环境意义 袁瑞丰、李宗省、蔡玉琴、郑涛明(2123)三峡水库水体溶解磷与颗粒磷的输移转化特征分析 境景、清明、郑南、景、墨、郑靖、汉进和、张靖、李潜、汉地民(2150) 王峡水库水体溶解磷与颗粒磷的输移转化特征分析
    不同 COD 浓度下低基质厌氧氮氧化的启动特征 马艳红,赵智超,安芳娇,黄利,师晓娟,慕浩,陈永志 (2317) 15℃ SBBR 短程硝化快速启动和稳定运行性能 孙艺齐,卞伟,李军,赵青,王文啸,梁东博,吴耀东 (2326) 长期低聚磷条件对 AO-SBR 系统 Accumulibacter 代谢特性的影响 王少坡,李柱,赵乐升,于静洁,赵明,郑胜达,孙力平 (2333) 厌氧氮氧化颗粒污泥 EPS 及其对污泥表面特性的影响 插明明,刘子汤,周杨,祁菁,赵凡,郭劲松,方芳 (2341) HN-AD 菌生物强化接触氧化工艺处理猪场沼液 刘向阳,张千,吴炬,李戾,唐健 泓,封丽,肖芃颖,赵天涛 (2349) 温度对自养型同步脱氮工艺处理猪场溶液,对 地液性能及微生物群落的影响 黄方玉,邓良伟,杨红男,杨含,肖友乾,王兰 (2357) 城市污水处理系统真核微生物群落结构的影响 王娜,高婵,魏静,刘颖,庄绪亮,庄国疆 (2375) 亚高山湖群中真菌群落的分布格局和多样性维持机制 刘晋仙,李毳,罗正明,王雪,暴家兵,柴宝峰 (2382) 生物质炭对双季稻田土壤反硝化功能微生物的影响 刘杰云,邓虎森,王聪,沈健林,吴金水 (2394) 中膜覆盖和腌氮对菜地 CH,排放的影响 倪雪,江长胜,陈世杰,李晓茜,石孝均,郝庆菊(2404) 与缺灌溉对冬小麦农田温室气体排放的影响 倪雪,江长胜,陈世杰,李晓茜,石孝均,郝庆菊(2404) 与缺灌溉对参入麦农田温室气体排放的影响 王晓云,蔡焕杰,李亮,徐家屯,陈慧 (2413) 不同施肥模式对热区晚稻水田 CH,和N₂O排放的影响 王晓云,蔡焕杰,李亮,侯等、中、陈慧(2413) 不同施肥模式对热区晚稻水田 CH,和N₂O排放的影响 王晓云,蔡焕杰,李亮,徐家屯,陈 [2426) 周期性变温对紫色土有机碳矿化的影响 臣长正,汤水荣,朝玉麟,赖倩倩,文冬妮,孟磊,吴川德 (2426) 增 漫漫,慈思,樊晶晶,李江文,《吴璐,李松(2435) 广西高镉异常区水田土壤 Cd 含量特征及生态风险评价 宋波,王佛鹏,周浪,吴勇,庞瑞,陈同斌(2443) 超富集植物藿香蓟(Ageratum conyzoides L. )对镉污染农田的修复潜力 张云霞,宋波,宾娟,周子阳,陈记玲,陈同斌(2443) 杜瑱重金属累积对土地利用与景观格局的响应 集净,郭传佳,张婧昊,张晓霞,茹文明,白志辉(2460)土壤重金属累积对土地利用与景观格局的响应 第心,李艳,李锋,冯靖仪,沈嘉瑜,史舟(2471)某区生活垃圾焚烧发电厂周边及厂区内土壤中重金属元素的污染特征及评价。 吕上禄、张金良,陆少涛,邹天森,刘凯,张晗,谷亚亚(2483)信息(2114,2348,2393)
```



基于分区供氧与溶解氧调控的低 C/N 比污水短程硝化反硝化

吴春雷1,荣懿1,刘晓鹏2,史会欣1,章武首3,金鹏康1*,马文伟4

(1. 西安建筑科技大学环境与市政工程学院,西安 710055; 2. 西安市第五污水处理厂,西安 710016; 3. 陕西朗正环保科技有限公司,西安 710065; 4. 陕西环保集团水环境有限公司,西安 710003)

摘要:针对城镇污水中碳源不足、C/N 比低导致脱氮性能不佳的问题,建立了 A^2/O 中试装置,通过调整系统缺氧/好氧分区比例及好氧区溶解氧水平,探究亚硝氮积累率及氮类污染物去除情况。结果表明,在 DO 为 $2.0 \sim 2.5$ mg·L⁻¹条件下,改变缺氧/好氧分区比例对系统的影响较小,难以实现短程硝化;当控制 DO 为 $0.5 \sim 0.8$ mg·L⁻¹、 $V_{tot}:V_$

关键词:分区供氧;短程硝化反硝化;低碳氮比;深度脱氮;城市污水

中图分类号: X703.1 文献标识码: A 文章编号: 0250-3301(2019)05-2310-07 **DOI**: 10.13227/j. hjkx. 201809038

Partial Nitrification and Denitrification of Low C/N Ratio Sewage Based on Zoning Oxygen and Dissolved Oxygen Control

WU Chun-lei¹, RONG Yi¹, LIU Xiao-peng², SHI Hui-xin¹, ZHANG Wu-shou³, JIN Peng-kang¹*, MA Wen-wei⁴ (1. School of Environmental and Municipal Engineering, Xi'an University of Architecture and Technology, Xi'an 710055, China; 2. Xi'an Fifth Sewage Treatment Plant, Xi'an 710016, China; 3. Shaanxi Langzheng Environmental Protection Technology Co., Ltd., Xi'an 710065, China; 4. Shaanxi Environmental Protection Group Water Environment Co., Ltd., Xi'an 710003, China)

Abstract: Poor nitrogen removal from municipal sewage is mainly due to insufficient carbon source and low C/N ratio. The A^2/O pilot plant was established to investigate the accumulation rate of nitrous nitrogen and the removal of nitrogen pollutants by adjusting the ratio of anoxic/aerobic zoning and dissolved oxygen levels in the aerobic zone. The results showed that when DO is 2.0-2.5 mg·L⁻¹, changing the ratio of anoxic to aerobic zoning had little effect on the reaction system, and it was difficult to realize partial nitrification. When DO is 0.5-0.8 mg·L⁻¹, V_{Anoxic} : $V_{\text{Aerobic}} = 1:1$, this is the best working condition of the system. The accumulation rate of nitrous nitrogen at the end of aerobic zone is stable at more than 62%, and the total nitrogen of effluent is reduced to 9.0 mg·L⁻¹, which can achieve the goal of deep denitrification. Analyzing the apparent activity of nitrifying bacteria, it was found that the SAOR and SNOR (according to N/VSS calculation) were 0.14 g·(g·d)⁻¹ and 0.04 g·(g·d)⁻¹, respectively, under the optimum conditions. The difference between them was more obvious than that in other stages of the experiment, that is, the higher inhibition of NOB activity was the direct reason for the increase of nitrite accumulation rate. Illumina MiSeq sequencing showed that the number of NOB in this stage was significantly lower than that in other stages. Intermittent OUR method was used to analyze the composition of carbon sources at the inlet and outlet of the anoxic zone. The results showed that short-cut nitrification and denitrification could save 27.3% of the carbon sources under the optimal operating conditions. The biodegradable COD consumption in the anoxic zone was 63.6%, which was much higher than that in other stages.

Key words: zoning oxygen; partial nitrification and denitrification; low C/N; advanced nitrogen removal; municipal sewage

日益严格的城镇污水排放标准对于污水的深度 脱氮除磷提出更高要求^[1],作为环境治理的主要承 担者,陕西省政府对渭河沿岸城镇污水厂氮磷污染 物的深度去除极为重视. 目前,生物脱氮作为氮类 污染物去除的主要方式^[2],包括了硝化与反硝化两 个阶段,在实际过程中常常由于反硝化阶段碳源不 足而成为限制深度脱氮的主要因素^[3~5]. 基于亚硝 化阶段直接转入反硝化而提出的短程硝化反硝化工 艺能够在一定程度上缓解碳源不足的缺陷,根据化 学计量学, 1 mol 的亚硝酸盐 (NO_2^-) 与硝酸盐 (NO_3^-) 被还原为 N_2 所需的 BOD 分别为 1.71 mol 与 2.86 mol $^{[6]}$,因而该工艺理论上可节约 40%的碳源 $^{[7]}$;此外,由于硝化进程的缩短,将有效节省曝

收稿日期: 2018-09-05; 修订日期: 2018-11-21

基金项目: 国家重点研发计划项目(2016YFC0400701); 陕西省科技 统筹创新工程计划项目(2016TZC-S-19-3); 陕西省重点 科技创新团队项目(2013KCT-13)

作者简介: 吴春雷(1993~), 男, 硕士研究生, 主要研究方向为水与废水的深度处理技术, E-mail:1009750256@ qq. com

* 通信作者,E-mail:pkjin@hotmail.com

气量达 25% [7]. 而成功实现短程硝化反硝化的关键在于富集氨氧化细菌(AOB)同时抑制亚硝氮氧化细菌(NOB)的活性 [8].

目前针对城市污水短程硝化反硝化处理的研究多采用实验室规模的序批式反应装置(SBR)^[9~11],研究成果表明间歇曝气是 SBR 反应器实现短程硝化反硝化的有效途径之一^[12,13],同时对间歇曝气的曝气强度^[14]及曝/停时间比^[15]进行了深入探究. 然而,采用连续流反应器对实际城市污水开展的短程硝化中试研究却为数不多^[16],且其中多数只关注好氧区低 DO 环境对 NOB 的淘洗作用^[17,18]. 当前我国采用连续流工艺的城镇污水处理厂约占总数的90%,其中 A/O 及 A²/O 工艺占到 50% 以上^[19]. 因此,研究 A²/O 工艺的短程硝化启动与参数优化,对城镇污水处理厂的提标改造及节能降耗具有重要的现实意义.

结合 SBR 反应器间歇曝气模式下对曝/停比的研究思路,本文在探究 A²/O 反应器好氧区 DO 水平对硝化进程影响的基础上,进一步考察不同缺氧/好氧区停留时间对亚硝酸盐的积累情况及系统的脱氮性能的影响;另外,由于推流式反应器在流速一定的条件下,停留时间与容积成正比,因此分区比例的差异可以直观地表现反应进程.

1 材料与方法

1.1 试验装置与运行程序

分区供氧改进型 A²/O 中试反应装置建设于西安市某污水处理厂研究基地,采用不锈钢板焊接而成,缺氧区与好氧区之间设置一系列挡板卡槽,通过改变挡板位置保证所需的试验条件;其平面示意图如图 1 所示,反应器总容积为 7.8 m³,其中沉淀池与浓缩池为 1.5 m³,为减小污泥回流对二沉池底部的扰动影响,采用气提方式先将污泥输送至浓缩池再经污泥回流泵回流至厌氧区人口与进水混合;厌氧区容积为 0.9 m³,其余部分为缺氧区与好氧区,二者容积之比可满足 1:2、1:1、1.5:1这 3 种分区比例下的调控,混合液回流通过污水泵由好氧区出口至缺氧区人口.进水及回流量采用电磁流量计控制,曝气量通过高精度转子流量计调节.

反应装置运行情况如表 1 所示, 试验周期为 146 d, 分为 6 个阶段, 分别考察好氧区不同 DO 浓度及缺氧/好氧分区比例交互作用下短程硝化反硝化性能. 试验期间控制污泥浓度(MLSS)为(3 500 ± 200) mg·L⁻¹, 温度为(25 ± 1) \mathbb{C} , 污泥龄(SRT)为 12 d, 水力停留时间 10.5 h.

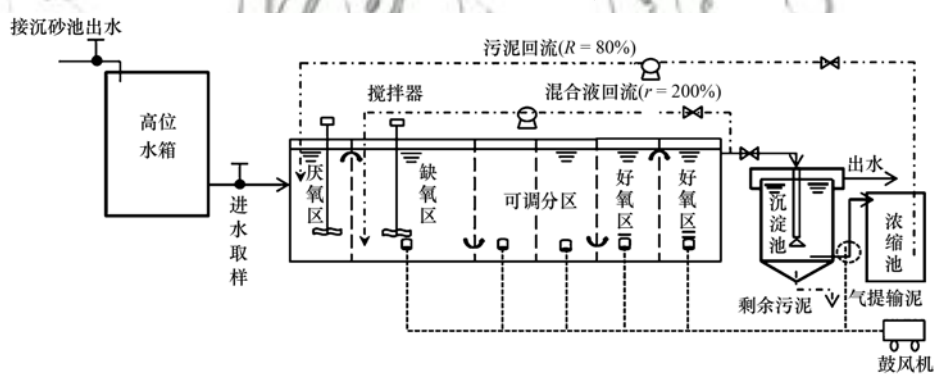


图 1 分区供氧改进型 A^2/O 中试反应装置示意

Fig. 1 Schematic diagram of modified A²/O pilot reactor for oxygen supply in partitions

表 1 分区供氧改进型 A^2/O 反应器运行状况

Table 1 Operating conditions of modified A^2/O reactor for oxygen supply in partitions

项目	阶段1	阶段2	阶段 3	阶段4	阶段 5	阶段6
时间/d	1 ~ 26	27 ~ 48	49 ~ 74	75 ~ 90	91 ~ 127	128 ~ 146
$V_{m{arphi}}\colon V_{m{arphi}}$	1:2	1:1	1.5:1	1.5:1	1:1	1:2
好氧区 DO/mg·L-1	2.0 ~ 2.5	2. 0 ~ 2. 5	2.0 ~ 2.5	0.5 ~ 0.8	0.5 ~ 0.8	0.5 ~ 0.8

1.2 进水及接种污泥

采用西安市某污水处理厂曝气沉砂池出水经自

制水箱进一步沉淀后作为反应装置进水,进水量为 0.6 m³·h⁻¹,主要水质指标如表 2 所示.

表 2 进水水质情况/mg·L-1

Table 2 Influent water quality/mg·L⁻¹

			1	7. 0		
项目	COD	TN	$\mathrm{NH_4}^+$ -N	NO_3^- -N	NO_2^- -N	TP
范围	181. 8 ~ 384. 6	41. 5 ~ 63. 2	26. 4 ~ 45. 7	0. 3 ~ 2. 4	0. 04 ~ 0. 18	3.6~8.4
均值	248. 7	50. 5	35. 6	0.8	0.07	5.8

接种污泥选用西安市某污水处理厂(A^2/O 工艺,处理量 20 万 $m^3 \cdot d^{-1}$)好氧池末端混合液.

1.3 分析方法

进出水及混合液样品的 NH_4^+ 、 NO_2^- 、 NO_3^- 经 0.45 μ m 滤膜过滤后,取滤液采用国标方法检测;进出水 TN、TP、COD 按照国标方法直接检测;混合液 COD 采用 100 mL 量筒静沉 30 min 后取上清液测定;DO、pH 值及水温监测采用哈希公司 WTW 自动测定仪.

污水 COD 组分测定采用间歇 OUR 法:将待测混合液静沉后,取上清液 1 L 分析测定,具体方法如文献[20]所述.

微生物群落分析采用 Illumina MiSeq 测序技术;采用 CTAB 方法提取样本的基因组 DNA,之后利用琼脂糖凝胶电泳检测 DNA 的纯度和浓度,取适量的样品于离心管中,使用无菌水稀释至 1 ng·μL⁻¹. 以稀释后的基因组 DNA 为模板,根据测序区域的选择,使用带 Barcode 的特异引物,New England Biolabs 公司的 Phusion® High-Fidelity PCR Master Mix with GC Buffer 和高效高保真酶进行PCR,确保扩增效率和准确性.

1.4 计算方法

1.4.1 NAR 的计算

NAR 指亚硝氮积累率,为好氧区末端 NO_2^- 占 NO_2^- 、 NO_3^- 之和的比例:

NAR =
$$\frac{NO_{2(ff)}^{-}}{NO_{2(ff)}^{-} + NO_{3(ff)}^{-}} \times 100\%$$
 (1)

式中, $NO_{2-(H)}^{-1}$ 和 $NO_{3-(H)}^{-1}$ 分别表示好氧区末端 NO_{2}^{-1} 和 NO_{3}^{-1} 的浓度, $mg \cdot L^{-1}$.

1.4.2 SAOR 与 SNOR 的计算

分别采用比氨氮氧化速率和比亚硝酸盐氧化速率作为表征 AOB 和 NOB 活性的参数^[21].

SAOR =
$$\frac{NH_{4,s}^+ - NH_{4,e}^+}{(MLVSS \times t)} \times 1440$$
 (2)

SNOR =
$$\frac{NO_{2,s}^{-} - NO_{2,e}^{-}}{(MLVSS \times t)} \times 1440$$
 (3)

式中, $NH_{4,s}^+$ 和 $NO_{2,s}^-$ 分别表示批次硝化反应开始时刻 NO_2^- 和 NH_4^+ 的浓度, $mg \cdot L^{-1}$; $NH_{4,e}^+$ 和 $NO_{2,e}^-$ 为 批次反应结束时刻的浓度, $mg \cdot L^{-1}$; MLVSS 为挥发性污泥浓度, $mg \cdot L^{-1}$; t 是批次硝化时间,s.

2 结果与讨论

2.1 氮的形态转化与去除性能

试验过程依据缺氧/好氧分区比例及好氧区末端溶解氧 DO 分为 6 个阶段,旨在探究系统脱氮性能及短程硝化作用的最优工况.好氧区出水中 NO_x^- -N构成及亚硝氮积累率、反应器对氮类污染物去除情况分别如图 2 和图 3 所示.

第 1 阶段, 控制 DO 为 2.0 ~ 2.5 mg·L⁻¹、 V_{sp} : V_{yf} 为 1:2,此时好氧区末端 NO₂ 浓度在 0.25 mg·L⁻¹波动, 亚硝氮积累率不足 3%; 系统硝化类型属于全程硝化,NH₄⁺-N去除高于 95%,反硝化效率限制了 TN 的进一步去除,出水中氮多以 NO₃⁻形式存在,TN 均值为 13.3 mg·L⁻¹. 第 2 阶段,调整 V_{sp} : V_{yf} 为 1:1,NAR 与前一阶段基本持平,反应器对氮的去除性能未见明显变化。随着好氧区容积的进一步降低(V_{sp} : V_{yf} 为 1.5:1),NO₂⁻开始呈现增加趋势,第 3 阶段末 NO₂⁻浓度可稳定在 1.0 mg·L⁻¹,

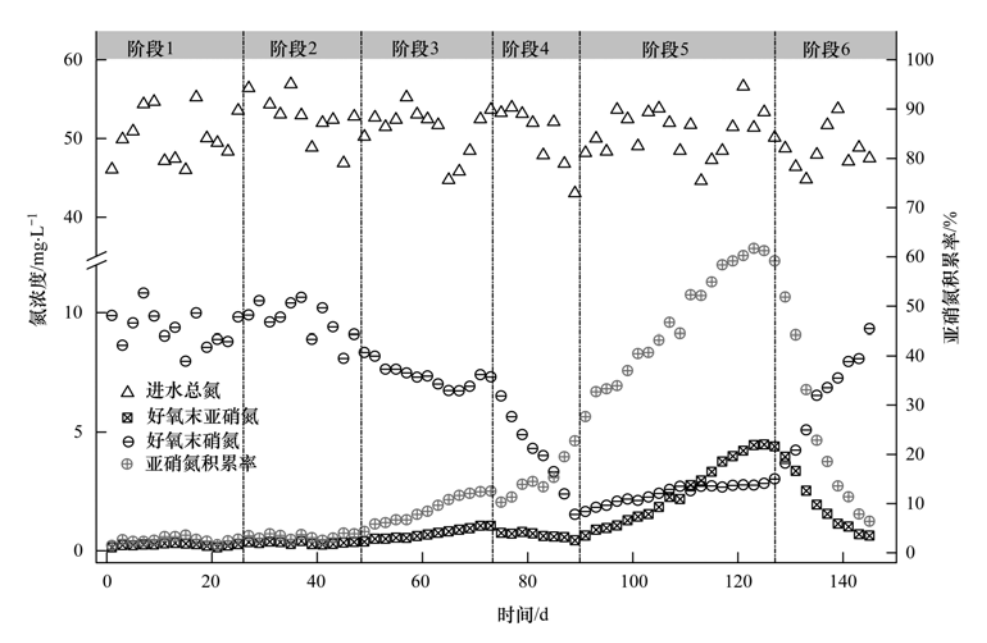


图 2 好氧区末端亚硝氮积累情况

Fig. 2 Nitrite accumulation at the end of aerobic zone

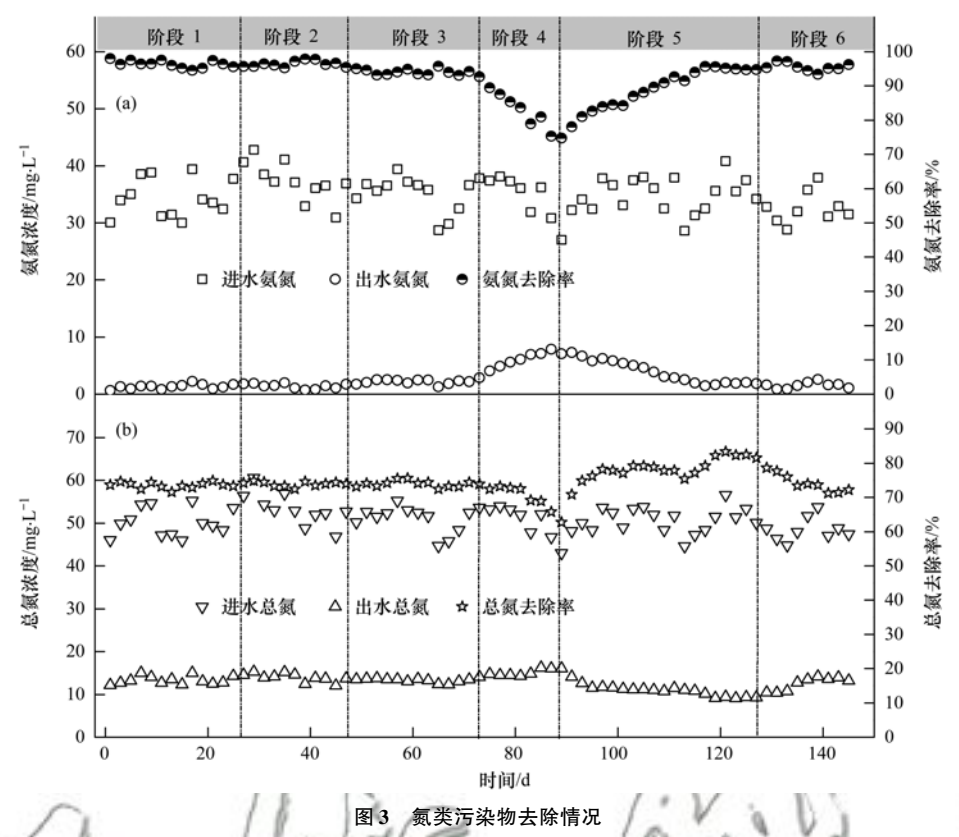


Fig. 3 Removal of nitrogen pollutants

而 NO₃ 浓度较前两个阶段显著降低,基本稳定在8.0 mg·L⁻¹以下,此时 NAR 最高达到12.9%;然而该值仍远低于短程硝化反硝化的理论界定值(50%),仅表明曝气时间缩短对 NOB 具有一定抑制作用.此外,从脱氮效果来看,虽然NH₄⁺-N去除相对于阶段1、2 略有降低,但系统对 TN 降解并未受到影响, TN 平均去除率为73.7%.因此,就试验前三阶段整体而言,当反应器以高 DO 运行时,调整缺氧/好氧分区比例对系统硝化类型没有明显改变.

第 4 ~ 6 阶段控制好氧区 DO 为 0.5 ~ 0.8 $\mathrm{mg} \cdot \mathrm{L}^{-1}$. 其中第 4 阶段 $V_{\mathrm{sp}} \colon V_{\mathrm{yp}}$ 为1.5:1,结果表明 好氧区末端 $\mathrm{NO_3}^-$ 大幅度降低,由 7.5 $\mathrm{mg} \cdot \mathrm{L}^{-1}$ 降至 2.8 $\mathrm{mg} \cdot \mathrm{L}^{-1}$,并发生 $\mathrm{NO_2}^-$ 相对积累,但 NAR 仍低于 25%;从氮的去除情况分析, $\mathrm{NH_4}^+$ -N去除率降至 70%以下,出水 $\mathrm{NH_4}^+$ -N 最高达到 7.85 $\mathrm{mg} \cdot \mathrm{L}^{-1}$,出水 TN 相应增加,氮的降解性能较差.说明在低 DO 与短时间曝气的双重作用下,硝化细菌活性受到严重抑制,且这种抑制作用有加剧趋势,为保证系统 微生物活性,及时终止该阶段.第 5 阶段将 $V_{\mathrm{sp}} \colon V_{\mathrm{yp}}$ 调整为1:1,随着系统运行,好氧区末端 NAR 逐步上升,最终稳定在 62.6%,该值与付国楷等 [22] 倒置型 A^2/O 中试的短程硝化效果 ($\mathrm{NAR} \approx 65\%$) 较为接近;由于微生物逐渐适应环境变化,本阶段末

 NH_4^+ -N去除率升至 95%; 出水 TN 降至 9.0 $mg \cdot L^{-1}$, TN 去除率可达 83.9%, 较高 DO 全程硝化工况下提高 9.2%, 实现深度脱氮的目标. 第 6 阶段, V_{sp} : V_{sp} 增加至1:2, 曝气时间延长, 短程硝化系统崩溃, NAR 在试验末期降为 5.9%; 由脱氮性能分析, 该阶段工况变化对 NH_4^+ -N影响较小, NH_4^+ -N去除率依然保持在 95.6%,而 TN 去除率降至 72.3%,出水 TN 超过 13.0 $mg \cdot L^{-1}$; 本阶段结果表明,随着活性污泥与分子氧接触的几率增加,NOB 在低氧状态下受到的抑制作用得以减弱甚至解除. 综合阶段 4~6,说明在低 DO 环境下,缺氧区与好氧区容积的合理设置对于短程硝化的高效诱导至关重要.

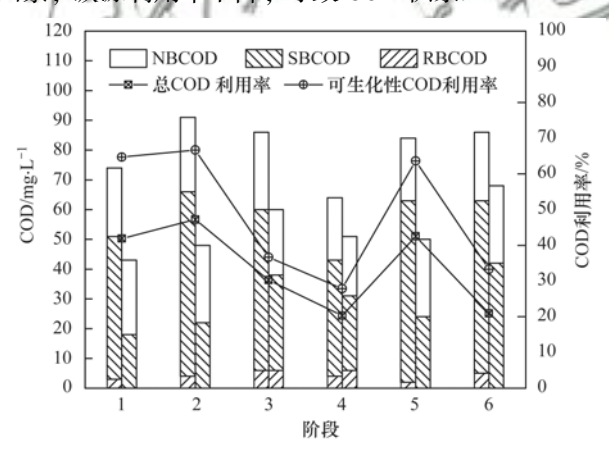
2.2 碳源利用情况分析

系列活性污泥模型(ASMs)对废水 COD 组分进行了划分. 有研究表明快速易生物降解 COD (RBCOD) 和慢速可生物降解 COD (SBCOD) 直接与微生物增殖、氧利用动态特性以及营养物的去除有关^[23]. 根据 ASM-1 模型, 异养反硝化菌的作用更依赖于易生物降解底物^[24]; 而 SBCOD 作为城市污水 COD 的主要组分多以大分子物质存在, 无法被异养菌直接利用,需水解为小分子物质方可参与生化反应, 而充足的缺氧区 HRT 是水解作用的必要条件.

每一阶段从第10 d起,间隔2 d,分别取缺氧

区首、末端混合液测定碳源组分,并以本阶段最后3次数据的平均值进行分析.各阶段 COD 组分构成及利用情况如图 4 所示.

由图 4 对缺氧区碳源变化分析可知, 第 1、2 阶 段碳源消耗量基本相同,这是因为二者缺氧/好氧 容积比虽然不同, 但曝气强度较大, 硝化程度较 高, 此时回流液中 NO; 浓度高, 因此反硝化过程反 应推动力较大直至 SBCOD 在缺氧区末端消耗殆尽 仍有较大一部分 NO; 存在. 第3 阶段, 缺氧区末端 RBCOD 与 SBCOD 开始有所提升,原因在于缺氧/好 氧容积比进一步增大,这时硝化程度较前两个阶段 明显降低, 且回流液中存在少部分 NO;, 反硝化过 程对于碳源的需求量降低; 此外, 随着缺氧区 HRT 增加水解反应加剧, 缺氧区末端发生 RBCOD 积累. 第4阶段,保持第3阶段相同的缺氧/好氧容积比而 降低 DO(0.5~0.8 mg·L⁻¹), RBCOD 与 SBCOD 均 呈现进一步上升趋势,验证了上述结论的合理性;另 外,大量积累的可生化性 COD 进入好氧区将会造成 异养菌与自养硝化菌的竞争, 且后者比增殖速率远 小于前者,因此NH₄-N去除性能显著下降.第5阶 段,随着好氧区 HRT 延长,硝化作用逐渐恢复,此 时反硝化对碳源的需求量与缺氧区碳源的水解反应 基本达到平衡, 所以碳源利用效率较高. 第6阶段, 缺氧区容积减小, 水解作用成为限制反硝化的主要 因素,碳源利用率下降,导致 COD 积累.



每阶段的两条柱分别为: 缺氧区首端、缺氧区末端 图 4 不同点位水样 COD 含量及其组分变化

Fig. 4 Variation of COD content and composition in water samples at various locations

另外,分析低 DO 状态下 COD 的消耗情况,阶段 5 污水中 COD 在缺氧段降低 42.5%,与生化作用直接相关的可生化性 COD 降低 63.6%,而第 4、6 阶段可生化性 COD 分别降低为 27.9%、33.3%.相对于低氧环境的其他阶段,第 5 阶段回流硝化液中电子受体(主要为 NO₂⁻)的量与缺氧段碳源水解处于动态平衡,是利用碳源合理分配保证反硝化深

度脱氮的必要条件.

相对于全程硝化而言,短程硝化的优点在于尽可能地降低反硝化的碳源需求,因此对各工况缺氧段去除单位质量 NO_x^- -N(NO_3^- -N与 NO_2^- -N之和)所消耗 COD 的量进行分析,其结果如图 5 所示. 高DO 状态下,系统反硝化去除单位质量的 NO_x^- -N消耗 COD 的量明显高于低 DO 状态下对 COD 的消耗量,其中差异最为显著的第 1、5 阶段(以 COD/N计)分别为 4.4 $mg \cdot mg^{-1}$ 、3.2 $mg \cdot mg^{-1}$,表明在短程硝化效果最优工况下节约碳源量 27.3%,该值较理论值有所降低,这是因为回流硝化液中仍有一部分 NO_3^- 存在,同时其他生化过程也对 COD 的消耗具有一定贡献.

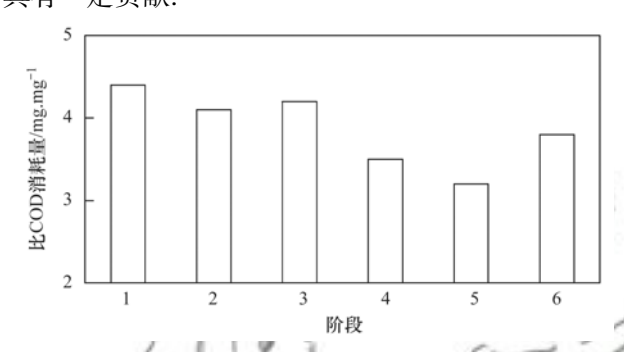


图 5 各阶段去除单位质量 NO_x^- -N 消耗 COD 情况

Fig. 5 COD consumption per unit mass NO_x^- -N at each stage

2.3 微生物环境分析

结合图 2 发现, 在高 DO 状态下, 调节缺氧/好氧容积比无法实现NO₂-N有效积累, 而低 DO 条件下 NAR 相对较高, 表明相对于缺氧/好氧分区比例, DO 对短程硝化的实现起到决定性作用. 根据以往研究结论, AOB、NOB 的 DO 饱和常数分别为0.3~0.5 mg·L⁻¹、0.7~1.8 mg·L^{-1[25]},即在低DO 条件下 AOB 生长速率大于 NOB. 因此, 当系统DO 维持在 2.0~2.5 mg·L⁻¹时, 好氧区曝气时间减少对于 AOB 与 NOB 竞争体系造成不利影响也可由高 DO 进行修复, 系统的硝化速率较高, 在较短的好氧区 HRT 下也能实现全程硝化.

而在低 DO 条件下, NAR 随缺氧/好氧容积比的调节变化明显, 且第 5 阶段成功实现短程硝化, 此时主要的运行参数: 好氧区 DO 为 0.5 ~ 0.8 mg·L⁻¹, 缺氧、好氧 HRT 均为 4.5 h. 首先, 低 DO 环境自身会对 NOB 的增长繁殖形成的一定的抑制; 其次, 缺氧好氧交替的运行模式有利于NO₂⁻-N积累, 其对 NOB 的抑制程度与缺氧持续时间成正比^[26]. 在阶段 5 条件下, 缺氧/好氧间歇时间比能够满足保留 AOB 而淘洗 NOB 的环境条件, 从而实现NO₂⁻-N高效积累. 而阶段 4 由于缺氧时间过长, AOB 受到的抑制作用同样不可忽视; 同时如 2.2 节

分析,过多的有机碳源进入好氧区发生异养菌竞争加剧,从而降低 NH_4^+ -N氧化效率. 阶段 6,曝气时间延长,在好氧区生成的 NO_2^- 无法在缺氧区及时通过反硝化去除, NO_2^- -N在好氧区内进一步被少量 NOB 缓慢氧化成 NO_3^- -N,充足的底物供应使 NOB 的饥饿状态得到缓解并逐渐恢复活性;同时长时间的低氧状态也会对 NOB 具有驯化作用,在一定程度上削弱低 DO 对其抑制作用.

为了定量分析亚硝氮高效积累的关键因素,采用 SAOR 与 SNOR 作为表征 AOB、NOB 表观活性的参数,取每一阶段最后 3 d 的数据进行分析. 各阶段 SAOR 及 SNOR 变化情况如图 6 所示.

由图 6 可见,高 DO 状态下的 SAOR 及 SNOR 整体高于低 DO 状态下的 SAOR 及 SNOR;且高 DO 条件下,随着缺氧/好氧容积比的增大,两者变化幅度基本一致,因此 NO_2^- -N难以积累. 而低 DO 条件下,SAOR 与 SNOR 的变化幅度出现较大差异,随着好氧区 HRT 增加,由阶段 4 至阶段 5,SAOR 与 SNOR 分别增长 75.0%、14.3%,而阶段 5 至阶段 6,二者相应增长 33.0%、150.0%。由此可见,当缺氧/好氧容积比超过 1:1时,继续增加曝气时间对 AOB 活性的促进作用远小于 NOB,此时 NOB 活性快速升高,系统在阶段 5 形成的短程硝化体系遭到破坏。

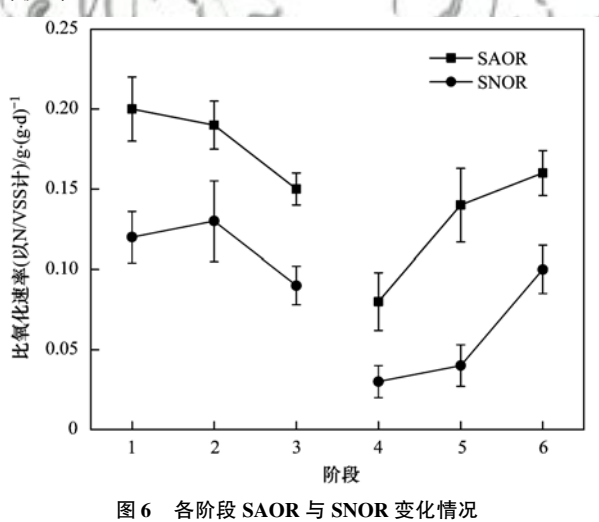


Fig. 6 Changes of SAOR and SNOR in different stages

为进一步探究短程硝化的实现机制,对1.5.6 阶段末的微生物群落进行检测,通过 Illumina MiSeq 测序分析,以说明 NO_2^- -N积累的微生物学原因。图 7 为不同试验阶段硝化细菌在属水平上的分类结果. 测序结果显示 AOB 主要包括亚硝化单胞菌属 (Nitrosomonas)与亚硝化螺旋菌属(Nitrosospira),而 NOB 以硝化螺旋菌属(Nitrospira)与硝化球菌属 (Nitrococcus)为主. AOB 在微生物群落中分布占比

由第 1 阶段 0.96% 至第 5 阶段变为 0.89%,而 NOB 的相应变化由 3.73% 降至 1.57%,二者的变化率分别为 7.3% 和 57.9%,表明分区比例及 DO浓度的调整对 NOB 的淘洗作用更为显著,这与 AOB 和 NOB 表观活性分析结论相一致. 阶段 6,随着曝气时间延长,AOB 和 NOB 占比分别为 0.9% 和 3.39%,该阶段 NOB 数量迅速增加而 AOB 基本稳定,因此短程硝化体系遭到破坏. 综合各阶段硝化细菌群落分布,说明 NOB 相对于 AOB 而言对于生境变化更为敏感^[27].

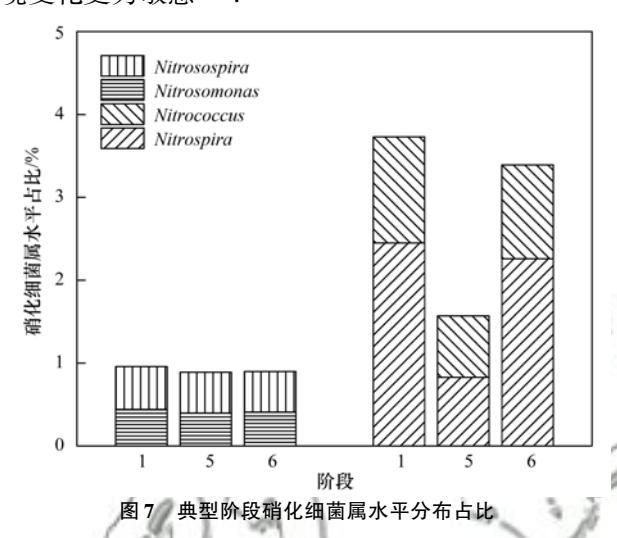


Fig. 7 Proportion of nitrobacterium on genus level on typical stage

3 结论

- (1)相对于缺氧/好氧分区比例而言,DO 对短程硝化的实现起到决定性作用;高 DO 条件下,改变分区比例均无法实现短程硝化,而在低 DO 条件下,调整分区比例对运行效果影响显著. 当 DO 为 $0.5 \sim 0.8 \text{ mg} \cdot \text{L}^{-1}$, $V_{\text{bg}} : V_{\text{F}}$ 为1:1时,NAR 最高可达 62.6%,出水 TN 降至 $9.0 \text{ mg} \cdot \text{L}^{-1}$,可实现深度脱氮的目标.
- (2)在最优工况下,通过短程硝化去除单位质量 NO_x-N 消耗 COD 的量与消耗量最高的阶段 1 相比降低 27.3%,另外可生化性 COD 在缺氧区利用率为 63.6%,远高于其他阶段.表明有机碳源在缺氧区的消耗量与回流硝化液中电子受体含量及碳源水解反应程度相关.
- (3)在高 DO 条件下, AOB 与 NOB 的活性与低 DO 条件下相比整体较高; 在低 DO 条件下, AOB 与 NOB 活性随着好氧区曝气时间延长而增加, 但 二者对曝气时间增加的敏感度存在差异; 微生物群落分析发现, 与典型的全程硝化阶段相比, 短程硝化效率最高工况下 AOB、NOB 分别降低 7.3%、57.9%, 表明分区比例及 DO 浓度的调整对 NOB 的淘洗作用更为显著.

参考文献:

- [1] Zhou H X, Li X, Xu G R, et al. Overview of strategies for enhanced treatment of municipal/domestic wastewater at low temperature[J]. Science of the Total Environment, 2018, 643: 225-237.
- [2] Liu H B, Chen Z H, Guan Y N, et al. Role and application of iron in water treatment for nitrogen removal: A review [J]. Chemosphere, 2018, 204: 51-62.
- Pelaz L, Gómez A, Letona A, et al. Nitrogen removal in domestic wastewater. Effect of nitrate recycling and COD/N ratio
 [J]. Chemosphere, 2018, 212: 8-14.
- [4] Chen Y Z, Li B K, Ye L, et al. The combined effects of cod/n ratio and nitrate recycling ratio on nitrogen and phosphorus removal in anaerobic/anoxic/aerobic (A²/O)-biological aerated filter (BAF) systems [J]. Biochemical Engineering Journal, 2015, 93: 235-242.
- [5] 桑浪涛, 石烜, 张彤, 等. 城市污水管网中污染物冲刷与沉积规律[J]. 环境科学, 2017, **38**(5): 1965-1971. Sang L T, Shi X, Zhang T, *et al.* Law of pollutant erosion and deposition in urban sewage network[J]. Environmental Science, 2017, **38**(5): 1965-1971.
- [6] Jenni S, Vlaeminck S E, Morgenroth E, et al. Successful application of nitritation/anammox to wastewater with elevated organic carbon to ammonia ratios [J]. Water Research, 2014, 49: 316-326.
- [7] Tobino T, Chen J X, Sawai O, et al. Inline thickener-MBR as a compact, energy efficient organic carbon removal and sludge production devise for municipal wastewater treatment [J]. Chemical Engineering and Processing: Process Intensification, 2016, 107: 177-184.
- [8] Ma B, Bao P, Wei Y, et al. Suppressing nitrite-oxidizing bacteria growth to achieve nitrogen removal from domestic wastewater via anammox using intermittent aeration with low dissolved oxygen[J]. Science Report, 2015, 5: 13048.
- [9] Huang X W, Urata K, Wei Q Y, et al. Fast start-up of partial nitritation as pre-treatment for anammox in membrane bioreactor [J]. Biochemical Engineering Journal, 2016, 105: 371-378.
- [10] 吴鹏, 张诗颖, 宋吟玲, 等. 连续流反应器短程硝化的快速启动与维持机制[J]. 环境科学, 2016, 37(4): 1472-1477. Wu P, Zhang S Y, Song Y L, et al. Quick start-up and sustaining of shortcut nitrification in continuous flow reactor[J]. Environmental Science, 2016, 37(4): 1472-1477.
- [11] 马琳娜, 刘文龙, 张琼, 等. 游离亚硝酸(FNA)对 A²O 污泥 菌群结构的影响[J]. 中国环境科学, 2017, **37**(7): 2566-2573.
 - Ma L N, Liu W L, Zhang Q, et al. Effect of free nitrous acid (FNA) on microorganism community structures of A^2O sludge [J]. China Environmental Science, 2017, 37(7): 2566-2573.
- [12] Miao Y Y, Peng Y Z, Zhang L, et al. Partial nitrificationanammox (PNA) treating sewage with intermittent aeration mode: Effect of influent C/N ratios [J]. Chemical Engineering Journal, 2018, 334; 664-672.
- [13] 董宝刚,宋小燕,刘锐,等. 间歇曝气 SBR 与传统 SBR 处理 养猪沼液的比较研究[J]. 环境科学, 2016, **37**(11): 4309-4316. Dong B G, Song X Y, Liu R, *et al.* A comparative study on
 - performance of an intermittent aeration SBR and a traditional SBR for treatment of digested piggery wastewater [J]. Environmental Science, 2016, 37(11): 4309-4316.
- [14] 刘宏, 南彦斌, 李慧, 等. 间歇曝气模式下曝气量对短程硝化恢复的影响[J]. 环境科学, 2018, **39**(2): 865-871.

- Liu H, Nan Y B, Li H, et al. Effect of aeration rate on shortcut nitrification recovery in intermittent aeration mode [J]. Environmental Science, 2018, 39(2): 865-871.
- [15] 刘宏,彭永臻,卢炯元,等. 间歇曝气比在短程硝化中对硝化活性的影响[J]. 环境污染与防治, 2017, **39**(12): 1317-1321. Liu H, Peng Y Z, Lu J Y, *et al.* Effect of the ratio of intermittent aeration on activity of nitrifying bacteria in shortcut nitrification[J]. Environmental Pollution & Control, 2017, **39** (12): 1317-1321.
- [16] Zhang T, Wang B, Li X Y, et al. Achieving partial nitrification in a continuous post-denitrification reactor treating low C/N sewage [J]. Chemical Engineering Journal, 2018, 335: 330-337.
- [17] 朱强, 刘凯, 董石语, 等. 连续流亚硝化中试反应器的启动及其能力提升[J]. 环境科学, 2017, **38**(10): 4316-4323. Zhu Q, Liu K, Dong S Y, *et al.* Start-up and capacity enhancement of a partial nitrification pilot reactor in continuous flow[J]. Environmental Science, 2017, **38**(10): 4316-4323.
- [18] 吕亮, 赵诗惠, 韦佳敏, 等. ABR-MBR 工艺处理生活污水实现短程硝化[J]. 环境科学, 2017, **38**(12); 5154-5161. Lü L, Zhao S H, Wei J M, *et al.* Realization of shortcut nitrification in the ABR-MBR process treating domestic wastewater[J]. Environmental Science, 2017, **38**(12); 5154-5161.
- [19] Zhang Q H, Yang W N, Ngo H H, et al. Current status of urban wastewater treatment plants in China [J]. Environment International, 2016, 92-93; 11-22.
- [20] 曹海彬, 张代钧, 卢培利. 活性污泥模型进水 COD 组分的测定方法[J]. 重庆大学学报(自然科学版), 2005, 28(9): 83-87.

 Cao H B, Zhang D J, Lu P L. Measurements of influent COD components for activated sludge models[J]. Journal of Chongqing University (Natural Science Edition), 2005, 28(9): 83-87.
- [21] Wang Z C, Gao M C, Wei J F, et al. Long-term effects of salinity on extracellular polymeric substances, microbial activity and microbial community from biofilm and suspended sludge in an anoxic-aerobic sequencing batch biofilm reactor [J]. Journal of the Taiwan Institute of Chemical Engineers, 2016, 68: 275-280.
- [22] 付国楷, 周琪, 杨殿海, 等. 倒置 A²/O 工艺的短程生物脱氮中试[J]. 中国给水排水, 2006, **22**(17): 38-41.
- [23] 金鵬康,常晋,王先宝,等.不同碳源在污水处理过程中的变化规律研究[J]. 环境科学, 2014, **35**(9): 3443-3448. Jin P K, Chang J, Wang X B, *et al.* Variation of different carbon sources in the sewage treatment process [J]. Environmental Science, 2014, **35**(9): 3443-3448.
- [24] Xie W M, Ni B J, Sheng G P, et al. Quantification and kinetic characterization of soluble microbial products from municipal wastewater treatment plants [J]. Water Research, 2016, 88: 703-710
- [25] Isanta E, Reino C, Carrera J, et al. Stable partial nitritation for low-strength wastewater at low temperature in an aerobic granular reactor [J]. Water Research, 2015, 80: 149-158.
- [26] Gao F, Zhang H M, Yang F L, et al. Study of an innovative anaerobic (A)/oxic (O)/anaerobic (A) bioreactor based on denitrification-anammox technology treating low C/N municipal sewage[J]. Chemical Engineering Journal, 2013, 232: 65-73.
- [27] 季民, 刘灵婕, 翟洪艳, 等. 高浓度游离氨冲击负荷对生物硝化的影响机制[J]. 环境科学, 2017, **38**(1): 260-268. Ji M, Liu L J, Zhai H Y, *et al.* Mechanism for effects of high free ammonia loadings on biological nitrification [J]. Environmental Science, 2017, **38**(1): 260-268.

HUANJING KEXUE

Environmental Science (monthly)

Vol. 40 No. 5 May 15, 2019

CONTENTS

CONTENID	
Pollution Characteristics and Regional Transport of Atmospheric Particulate Matter in Beijing from October to November, 2016 · · · · · · · · ·	• • • • • • • • • • • • • • • • • • • •
Chemical Compositions, Mass Concentrations, and Emission Factors of Particulate Organic Matters Emitted from Catering	
Size Distributions of Aerosol During the Summer at the Summit of Mountain Taishan (1534 m) in Central East China	
Concentration Characteristics and Source Analysis of PM _{2.5} During Wintertime in Zhengzhou-Xinxiang YAN	Guang-xuan, ZHANG Pu-zhen, HUANG Hai-yan, et al. (2027)
Scenario Analysis of PM _{2.5} Concentration Targets and Milestones in China	
PM _{2.5} Emission Characteristics and Estimation of Emission Reduction Potential from Typical Industrial Sources in Anyang	
Emission Characteristics and List of Inorganic Elements in Fine Particles of Typical Industrial Kilns in Zhengzhou City	
Composition and Atmospheric Reactivity of Ambient Volatile Organic Compounds (VOCs) in the Urban Area of Nanjing, China	
Formation Potential of Ozone and Secondary Organic Aerosol of VOCs from Fossil Fuel Combustion in Lanzhou City	
Inventory and Characteristics of Biogenic Volatile Organic Compounds (BVOCs) for 12 Deciduous Fruit Trees	
Ion Concentrations and Their Spatial Variability in Underground Water and Surface Water in Typical Terrestrial Ecosystems in China	
Status of Antibiotic Contamination and Ecological Risks Assessment of Several Typical Chinese Surface-Water Environments	
Distribution and Risk Assessment of Polycyclic Aromatic Hydrocarbons in Water Bodies in Seven Basins of China	
Occurrence, Input, and Seasonal Variations of Poly-and Perfluoroalkyl Substances (PFASs) in Rivers and Drain Outlets from the Dal	ian Coastal Area, China
Space-time Characteristics and Environmental Significance of Stable Isotopes in Precipitation at an Arid Inland River Basin	
Regional Evolution and Control Factors of Karst Groundwater in Liulin Spring Catchment	
Major Ionic Characteristics and Controlling Factors of Karst Groundwater at Xiangshui, Chongzuo	
Analysis of Transport and Transformation Characteristics Between Dissolved Phosphorus and Particulate Phosphorus in Water of the Th	orne Gorges Reservoir
Vertical Distribution Profiles and Release Potential of Mainstream Column Sediments in the Three Gorges Reservoir After Impoundmen	it to 1/5 m
Distribution Characteristics and Influencing Factors of Phosphorus in the Dongting Lake at Different Water Periods	
Effects of Exogenous Carbon Addition on Equilibrium Phosphate Concentration and Risk of Phosphorus Release from Sediments in the	Sniwuli River, Chaonu Lake Basin
Spatial Distribution of Organic Phosphorus in Sediment and Its Environmental Implication in the Upper Stream of Minjiang River	
Nitrogen and Phosphorus Removal by Integrated Ecological Engineering Treatment System in a Small Agricultural Watershed	
Spatial Distribution and Pollution Assessment of Heavy Metals in River Sediments from Lake Taihu Basin Temporal and Spatial Variation of Mercury in the Water of the Ruxi River Estuary, a Typical Tributary of the Three Gorges Reservoir	
Temporal and Spatial Variation of Mercury in the water of the Ruxi River Estuary, a Typical Tributary of the Tifree Gorges Reservoir	Area MA Wei bin, CHEN Oir yer, VIN Do liong, et al. (2211)
Mercury Distribution Characteristics and Its Mass Balance in a Multifunctional Urban Wetland	
Distribution Characteristics of Mercury in Different Urban Constructed Wetlands	
Effects of Microplastics on Antibiotic Resistance Genes in Estuarine Sediments	
Comparison and Source Apportionment of PAHs Pollution of Runoff from Roads in Suburb and Urban Areas of Shanghai	
Characteristics of Phytoplankton Community and Its Relationship with Environmental Factors in Different Regions of Yilong Lake, Yur	The state of the s
Characteristics of Thytopanicon Community and its rectationship with Environmental Tacors in Different regions of Thong Earce, Tai	WANG Zhen-fang ZHANG Wei YANG Li et al. (2249)
Algal Bloom and Mechanism of Hypoxia in the Metalimnion of the Lijiahe Reservoir During Thermal Stratification	
Allelopathic Effects and Allelochemicals of Myriophyllum elatinoides on Microcystis aeruginosa and Selenastrum capricornutum	
Removal Efficiency of Trichloroacetamide by UV/Sodium Sulfite	
Influencing Factors and Transformation Mechanism of Venlafaxine Degradation by UV	
Mechanism of Synergistic Adsorption of Arsenic and Cadmium by Aluminium-substituted Ferrihydrites	
Fluoride Removal Efficiency of Novel Material: Magnetite Core/Zirconia Shell Nanocomposite	
Impact Mechanisms of Carboxyl Group Modified Cathode on Acetate Production in Microbial Electrosynthesis Systems	
Partial Nitrification and Denitrification of Low C/N Ratio Sewage Based on Zoning Oxygen and Dissolved Oxygen Control	
Start-up Performance of Low-substrate Anaerobic Ammonium Oxidation Under Different COD Concentrations	
Partial Nitrification Fast Start-up and Stable Performance of 15°C SBBR	SUN Yi-qi, BIAN Wei, LI Jun, et al. (2326)
Effects of Long-term Poly-P Deficiency on the Metabolic Properties of Accumulibacter in AO-SBR System	
Extracellular Polymeric Substances of ANAMMOX Granular Sludge and Its Effects on Sludge Surface Characteristics	
Treatment of Piggery Biogas Slurry by Enhanced Biological Contact Oxidation with HN-AD Bacteria	LIU Xiang-yang, ZHANG Qian, WU Heng, et al. (2349)
Effect of Different Temperatures on the Performance of Autotrophic Nitrogen Removal and Microbial Community from Swine Wastewate	er · · · · · · · · · · · · · · · · · · ·
HUA	ANG Fang-yu, DENG Liang-wei, YANG Hong-nan, et al. (2357)
Characteristics and Regional Heterogeneity of Eukaryotic Microbial Community in Wastewater Treatment Plants	
Effects of Wetland Reclamation on Soil Microbial Community Structure in the Sanjiang Plain	
Distribution Pattern and Diversity Maintenance Mechanisms of Fungal Community in Subalpine Lakes	LIU Jin-xian, LI Cui, LUO Zheng-ming, et al. (2382)
Influence of Biochar Amendment on Soil Denitrifying Microorganisms in Double Rice Cropping System	LIU Jie-yun, QIU Hu-sen, WANG Cong, et al. (2394)
Effects of Plastic Film Mulching and Nitrogen Fertilizer Application on CH ₄ Emissions from a Vegetable Field ·······	
Effects of Water Deficit on Greenhouse Gas Emission in Wheat Field in Different Periods	
Effects of Different Fertilization Modes on Greenhouse Gas Emission Characteristics of Paddy Fields in Hot Areas	···· TIAN Wei, WU Yan-zheng, TANG Shui-rong, et al. (2426)
Effects of Cyclical Temperature Fluctuations on Organic Carbon Mineralization in Purple Soil	
Cd Content Characteristics and Ecological Risk Assessment of Paddy Soil in High Cadmium Anomaly Area of Guangxi	SONG Bo, WANG Fo-peng, ZHOU Lang, et al. (2443)
Remediation Potential of Ageratum conyzoides L. on Cadmium Contaminated Farmland	······· ZHANG Yun-xia, SONG Bo, BIN Juan, et al. (2453)
Evaluation of the Potential Agricultural Risks of Polycyclic Aromatic Hydrocarbon Contaminated Soil by Planting Lactuca sativa L	
Impacts of Land Use and Landscape Patterns on Heavy Metal Accumulation in Soil	
Pollution Characteristics and Evaluation of Heavy Metal Pollution in Surface Soil Around a Municipal Solid Waste Incineration Power I	Plant ·····
	···· LÜ Zhan-lu, ZHANG Jin-liang, LU Shao-you, et al. (2483)